

สัญญาณอะคูสติกกับลักษณะการกินเนื้อและการสึกหรอของดอกสว่าน

Relationship between Acoustic signal with Characteristic of Cutting and Drill Wear

นายโจนน์ คุณพนิชกิจ

ภาควิชาวิศวกรรมเครื่องกล คณะวิศวกรรมศาสตร์ จุฬาลงกรณ์มหาวิทยาลัย
ต.พญาไท เขตปทุมวัน กรุงเทพ 10330

สรรวิริค อุ่ยวัฒนา

ภาควิชาวิศวกรรมอาหาร คณะวิศวกรรมศาสตร์ สถาบันเทคโนโลยีพระจอมเกล้าเจ้าคุณทหารลาดกระบัง
ต.ฉลองกรุง เขตลาดกระบัง กรุงเทพ 10520

บทคัดย่อ

วิธีการอะคูสติกอิมิสชันถูกนำมาศึกษาความสัมพันธ์ของสัญญาณอะคูสติกกับลักษณะการกินเนื้อและการสึกหรอของดอกสว่าน เพื่อให้สามารถแสดงผลได้ด้วยการทำงาน การศึกษาจะทำโดยทดลอง เจาะรูแผ่นเหล็กกล้า SS400 ด้วยดอกสว่านไสสีปีดแบบบิด การทดลองได้เปลี่ยนแปลงอัตราเร็วรอบ 3 อัตราเร็วรอบคือ 280 450 และ 710 รอบต่อนาที และเปลี่ยนแปลงอัตราการป้อน 3 อัตราการป้อน คือ 0.08 0.12 และ 0.2 มิลลิเมตรต่อรอบ โดยทดลองเงื่อนไขในละ 3 ครั้ง และใช้ดอกสว่านเจาะรู คงคละ 400 รู佳 และเลือกวิเคราะห์การสะสมของสัญญาณ ENERGY COUNT และ HIT เป็นช่วงๆ เว้นช่วงละ 50 รู佳

ความสัมพันธ์ระหว่างอัตราเร็วอบกับสัญญาณ ENERGY และ COUNT มีผลน้อยกว่าเมื่อเทียบกับอัตราการป้อน โดยที่อัตราการป้อนที่กว่าจะมีค่า ENERGY และ COUNT สูงกว่าที่อัตราการป้อนสูง ขณะที่อัตราเร็วอบมีผลต่อสัญญาณ HIT ชัดเจนกว่า เพราะที่อัตราเร็วอบค่าเดียวจะทำการเจาะจะไม่ต่อเนื่อง ทำให้ค่า HIT สูงกว่าเมื่ออัตราเร็วอบสูงซึ่งมีเศษโลหะแบบต่อเนื่อง ขณะที่ความสัมพันธ์ระหว่างสัญญาณอะคูสติกกับการสึกหรอของดอกสว่านยังไม่เด่นชัด เนื่องจากจะดับความสึกหรอที่ทดลองยังมีค่าน้อย แต่ก็มีความเป็นไปได้ที่จะประยุกต์นำสัญญาณอะคูสติกมาใช้บวกกับลักษณะการกินเนื้อ และ/หรือ การสึกหรอของดอกสว่านสำหรับระบบการผลิตอัตโนมัติ

1.บทนำ

งานเกี่ยวกับการขันรูปชิ้นงานได้นำเอาเครื่องจักรกลอัตโนมัติในการผลิต ปัญหาหนึ่งของการใช้เครื่องจักรกลอัตโนมัติ คือการบ่งบอกอายุการใช้งานของอุปกรณ์ เช่น มีดกลึง หัวกัด หินเจียร์ใน หรือ ดอกสว่าน ซึ่งมีการสึกหรอไปเรื่อยๆ เมื่อถูกใช้งาน การให้สัมภาระความสัมพันธ์เบื้องต้นของอายุการใช้งานของอุปกรณ์ ก็เป็นเพียงอายุการใช้งานเฉลี่ย หรือ การใช้ประสบการณ์ของบุคคลที่มีความสามารถเฉพาะตัว เพื่อกำหนดอายุของอุปกรณ์ที่ไม่ใช้วิธีที่ดีที่สุด ดังนั้นถ้าสามารถที่จะบ่งบอกอายุการใช้งานได้ใกล้เคียงขึ้นสำหรับอุปกรณ์ แต่ละชิ้น ก็จะทำให้ประดิษฐ์ภาพของ การผลิตดีขึ้น เพราะเมื่อเกิดการ

สึกหรอซึ่งจะมีผลต่องานทำให้ชิ้นงานไม่ได้ขนาดที่ต้องการ หรือมีผลกระทบต่อเครื่องจักรกลเอง วิธีการตรวจสอบในลักษณะที่เครื่องจักรกลกำลังทำงาน จะทำให้สามารถใช้งานอุปกรณ์ต่างๆ ได้จนถึงค่าที่กำหนดไว้

ในบทความนี้ได้เลือกศึกษาการสึกหรอของดอกสว่านเพราะยังมีการศึกษากันน้อยโดยจะใช้วิธีการอะคูสติกอิมิสชันซึ่งเป็นวิธีการหนึ่งของการตรวจสอบโดยไม่ทำลาย (NDT) ที่ตรวจสอบพลังงานความยืดหยุ่นที่ปลดปล่อยออกมานี้เพื่อใช้เป็นตัวบ่งบอกปริมาณการสึกหรอซึ่งจะสามารถแสดงผลได้ที่เวลาหนึ่งได้เลย

2.ทฤษฎี

2.1อะคูสติกอิมิสชัน

วิธีการอะคูสติกอิมิสชันคือ การตรวจสอบพลังงานความยืดหยุ่น (Elastic energy) ที่วัสดุปลดปล่อยพลังงานภายในอุปกรณ์เมื่อวัสดุเกิดการเสียรูป (deformation) แบบ plastic หรือมีการฉีกขาดออกจากกันของพันธะระหว่างโมเลกุล ปรากฏการณ์ที่แสดงคลื่น อะคูสติก ก่ออุปกรณ์ให้เห็น เช่น การเคลื่อนที่หรือแตกของเปลือกโลกที่บีบเว้นหนึ่งแล้วเกิดแผ่นดินไหวแผ่นกาวงอกอไป การคลาก (yielding) การเคลื่อนตัวของอะตอมและการติดต่อระหว่างระนาบของ lattice (dislocation and slip line) การขยายตัวของการแตกร้าว (crack propagation) การขาดของเส้นใย (fiber breakage) นอกจากนี้ยังมี แหล่งกำเนิดที่ไม่เกี่ยวข้องกับความเสียหายของเนื้อวัสดุ เช่น คาวิเตชัน (cavitation) การเปลี่ยนสถานะ และ ความเสียดทาน

เนื่องจากคลื่นอะคูสติกแผ่นดินหัวค่าเปลี่ยนแปลงขึ้นลงกับเนื้อเดินก้าวไปเรื่อยๆ ทำให้สะท้อนต่อการติดตั้งตัวตรวจรู้ (transducer) ตรวจสอบโครงการขนาดใหญ่ได้

2.2 ลักษณะของสัญญาณ

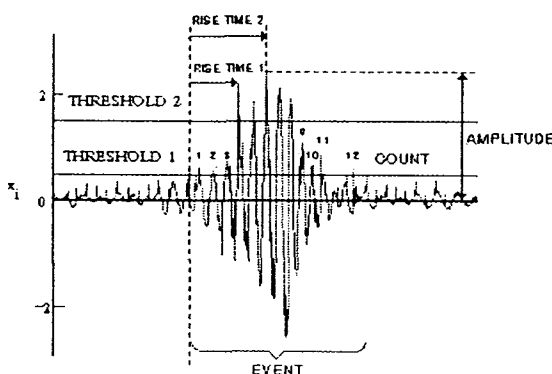
ลักษณะของสัญญาณอะคูสติกโดยทั่วไปจะเหมือนกับสัญญาณของแผ่นดินไหวค่าเปลี่ยนแปลงขึ้นลงเรื่มต้นจากแอนพลิจูดของสัญญาณน้อยๆ แล้วเพิ่มมากขึ้นจนถึงค่าสูงสุดแล้วกลับลดลงอีก สัญญาณอะคูสติกจะมีแอนพลิจูดมากหรือน้อยขึ้นกับ

ความรุนแรงของการเสียหายของเนื้อวัสดุ เนื่องจากสัญญาณ อะคูสติกที่ตรวจได้จากดัชนีตรวจรู้ภัยแอมเพลจูคลื่นของสัญญาณค่าจึงต้องขยายสัญญาณ โดยการกำหนดค่าอัตราการขยาย (gain) จากนั้นเครื่องตรวจสัญญาณจะทำการวิเคราะห์และประมวลผลสัญญาณ แต่เนื่องจากสัญญาณที่ได้มาอาจมีคลื่นรบกวน (noise) ดังนั้นจึงต้องมีการกำหนดค่าขีดเริ่มเปลี่ยน (threshold) เช่น threshold1 เพื่อเป็นการคัดเลือกไวเคราะห์เฉพาะสัญญาณที่มีแอมเพลจูคลื่นสูงกว่าค่าขีดเริ่มเปลี่ยน ส่วนสัญญาณที่มีแอมเพลจูคลื่นต่ำกว่าค่าขีดเริ่มเปลี่ยนจะถือว่าเป็นคลื่นรบกวนซึ่งทำให้ได้ข้อมูลที่ถูกต้องมากขึ้น โดยค่าขีดเริ่มเปลี่ยนที่จะกำหนดนั้นจะต้องมีความสัมพันธ์กับอัตราการขยาย ลักษณะของสัญญาณซึ่งสามารถนำมาจำแนกประเภทของสัญญาณและ pragmacy การณ์ที่ทำให้เกิดสัญญาณได้มีดังต่อไปนี้ [1]

Count คือ จำนวนครั้งที่สัญญาณอะคูสติกที่มีแอมเพลจูคลื่นสูงกว่าค่าขีดเริ่มเปลี่ยน 1 (threshold1) และเมื่อสัญญาณเริ่มมีแอมเพลจูคลื่นสูงกว่าค่าขีดเริ่มเปลี่ยนเพิ่มต่อเนื่องไปเรื่อยๆ แล้วค่าอยู่คล่องจนมีแอมเพลจูคลื่นต่ำกว่าค่าขีดเริ่มเปลี่ยน คลื่นอะคูสติกกลุ่มนี้เรียกว่า Event

Rise time คือช่วงเวลาระหว่างที่สัญญาณเริ่มมีค่าสูงกว่าหรือเท่ากับค่าขีดเริ่มเปลี่ยน 1 (threshold1) ครั้งแรกกับสัญญาณที่มีค่าสูงกว่าหรือเท่ากับค่าขีดเริ่มเปลี่ยน 2 threshold2 (Rise time 1) หรือกับสัญญาณที่มีค่าแอมเพลจูคลื่นสูงสุด (Rise time 2)

เมื่อเนื้อวัสดุมีความเสียหายรุนแรงเข่นการคราก การร้าว จะมีการปลดปล่อยพลังงานอกรากมากในแต่ละ Event ดังนั้นในส่วนนี้ แต่ละ Event จะกินระยะเวลานานกว่าเมื่อมีการปลดปล่อยพลังงานน้อย และโดยทั่วไปก็จะมีแอมเพลจูคลื่นสูง ดังนั้นก็จะมีจำนวน count มากตามไปด้วย



รูปที่ 1 ลักษณะรูปคลื่นและลักษณะต่างๆของสัญญาณ

2.3 ตัวแปรของลักษณะต่างๆของสัญญาณอะคูสติก

ลักษณะอื่นๆ ของสัญญาณที่สามารถนำมาบ่งบอกลักษณะของ pragmacy การณ์อะคูสติกที่ตรวจวัด เช่น

- 1) Cumulative count คือจำนวนครั้งรวมที่นับเมื่อสัญญาณมีแอมเพลจูคลื่นสูงกว่าค่าขีดเริ่มเปลี่ยน ดังรูปที่ 1 จะเห็นว่าลักษณะของสัญญาณช่วงแรกและช่วงหลังมีแอมเพลจูคลื่นต่ำ เป็นสัญญาณของคลื่นรบกวน เพื่อหลีกเลี่ยงจึงต้องดึงค่าขีดเริ่มเปลี่ยนให้สูงกว่านั้นและจะเริ่มนับเมื่อสัญญาณมีแอมเพลจูคลื่นสูงกว่าค่าขีดเริ่มเปลี่ยนเท่านั้นดังรูปจะเห็นว่ามี 12 count

2) Count rate คือจำนวนครั้งสะสมที่สัญญาณมีแอมเพลจูคลื่นสูงกว่าค่าขีดเริ่มเปลี่ยนต่อหนึ่งหน่วยเวลา (Cumulative count per unit time) และคงที่อัตราเร็วในการเกิดสัญญาณ

3) Cumulative event คือจำนวนกลุ่มของสัญญาณที่เกิดจากการปล่อยคลื่นอะคูสติก ดังรูปที่ 1 จะแสดงกลุ่มของสัญญาณ 1 กลุ่มก็คือจะเริ่มเมื่อสัญญาณสูงกว่าค่าขีดเริ่มเปลี่ยนและหยุดเมื่อสัญญาณสูงกว่าค่าขีดเริ่มเปลี่ยน

4) Event rate คือจำนวนกลุ่มของสัญญาณที่เกิดจากการปล่อยคลื่นอะคูสติก ต่อหนึ่งหน่วยเวลา (Cumulative event per unit time) และคงที่อัตราการเกิดการเสียรูปของวัสดุ

5) Amplitude คือค่าสูงสุดของสัญญาณอะคูสติกในแต่ละ event ดังแสดงในรูปที่ 1 จะเห็นว่า count ที่ 6 จะมีแอมเพลจูคลื่นสูงที่สุดเมื่อเทียบกับ count อื่นๆ ใน event เดียวกัน ดังนั้นความสูงของแอมเพลจูคลื่นของ count ที่ 6 ก็คือแอมเพลจูของ event นั้น ซึ่งสามารถบอกถึงความเข้มของแหล่งกำเนิดคลื่น ทำให้สามารถแยกแยะ ขนาด ชนิด และระยะเวลาจากแหล่งกำเนิด รวมทั้งยังอาจใช้การกระจายของแอมเพลจูเพื่อบ่งบอกความสัมพันธ์กับกลไกการเสียรูปของวัสดุบางชนิด

6) Energy คือพลังงานของคลื่นอะคูสติกที่เทียบได้จากการอินทิเกรตแรงดันไฟฟ้ากำลังสองเทียบกับเวลาแล้วหารด้วยความด้านทานไฟฟ้าของอุปกรณ์ตรวจวัด ดังสมการ

$$U = \frac{1}{R} \int_0^t V^2(t) dt$$

โดยที่ U คือ ค่าพลังงาน

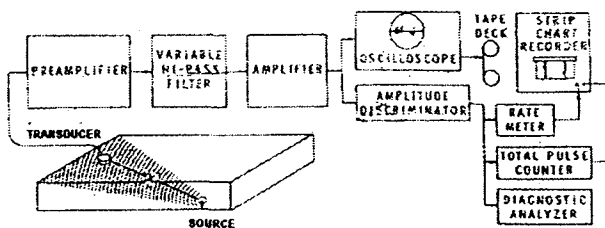
R คือ ความด้านทานไฟฟ้าของอุปกรณ์ตรวจวัด

t คือ เวลา

$V(t)$ คือ ค่าแรงดันไฟฟ้าจากอุปกรณ์ตรวจวัด ที่เวลา t

2.4 ระบบที่ใช้ในการตรวจสอบอะคูสติกอิมิสชัน

ระบบที่ใช้ในการตรวจสอบอะคูสติกอิมิสชันประกอบด้วยดัชนีตรวจรู้สัญญาณอะคูสติก (Acoustic Emission transducer) เป็นอุปกรณ์ที่ทำหน้าที่แปลงคลื่นความดันที่อยู่ในสัญญาณไฟฟ้า ปกติใช้วัสดุไฟเซอเล็กทริก (piezoelectric) เช่น PZT (Lead zirconate Titanite Ceramics) เป็นตัวรับเพื่อ检测ความดันที่อยู่ในสัญญาณที่ออกจากตัวตรวจรู้ (Transducer) นั้นค่อนข้าง จึงต้องมีการขยายสัญญาณเพื่อรักษาเสถียรภาพ โดยตัวขยายนั้นคือ (Preamplifier) ขยายสัญญาณที่ให้สามารถส่งสัญญาณได้เป็นระยะเวลาใกล้ๆ จากนั้นสัญญาณจะเข้าด้วยกรองสัญญาณ (Filter) เนื่องจากสัญญาณที่ตรวจวัดได้นั้นมีสัญญาณทางกลและสัญญาณไฟฟ้าปนมาด้วย จึงต้องกรองเอาเฉพาะสัญญาณอะคูสติกในช่วงที่ใช้งานเท่านั้นซึ่งมักมีความถี่มากกว่า 10 กิโลเฮิร์ต แล้วผ่านเข้าด้วยขยายสัญญาณหลัก (Amplifier) ขยายสัญญาณอีกครั้งหนึ่ง จากนั้นก็สามารถพิจารณาสัญญาณได้จากทั้งอุสซิลโลสโคป (Oscilloscope) โดยตรง และจากตัวจำแนกสัญญาณ (Amplitude Discriminator) ซึ่งจะแปลงสัญญาณจากอนาล็อกเป็นดิจิตอลแล้วผ่านไปสู่ตัววิเคราะห์สัญญาณต่างๆเพื่อทำการวิเคราะห์ต่อไป ดังแสดงโดยแผนผังในรูปที่ 2 [2]



รูปที่ 2 แผนผังของระบบที่ใช้ในการตรวจสอบด้วยอัคคุสติกชีมิสชัน

3 การทดลอง

การทดลองจะใช้ตอกส่วนบีดเจาะที่เงื่อนไขต่างๆ จำนวนมากรวมๆ วัดสัญญาณเป็นระบบเพื่อหาความสัมพันธ์ของสัญญาณกับจำนวนรูเจาะ

3.1 การวัดสัญญาณ

ดังค่าอัตราการขยาย 25 เดซิเบล และค่าขีดเริ่มเปลี่ยน 40 เดซิเบล ซึ่งเป็นค่าแนะนำช่วงความไวปานกลาง เริ่มทดลองโดยการหักไสเดินสองราย Pentel ขนาด 0.5 มิลลิเมตร แบบความเข้ม B ก่อนทำการเจาะประมาณ 5 ถึง 10 ครั้ง บนแผ่นเหล็กสำหรับเจาะรูตรงค่าแทนผ่านด้านข้างของรูเจาะติดกับรูเจาะ เพื่อนำไปเป็นค่าอ้างอิงเพื่อปรับเทียบ แล้วทำการเจาะด้วยเครื่องเจาะอัตโนมัติ

เนื่องจากไม่สามารถวัดความสึกหรอที่แท้จริงของตอกส่วนได้โดยตรง จึงจำเป็นต้องใช้จำนวนรูเจาะเป็นตัวบ่งบอกความสึกหรอของตอกส่วน ซึ่งจะต้องวัดตอกส่วนที่ทำการเจาะแต่ละหลักได้จำนวนมากกว่าจะสึกหรอมากกว่าในช่วงแรกที่ขึ้นไม่ได้ช้านาน หรือเจาะแต่ละหลักได้จำนวนรูน้อยกว่าที่เงื่อนไขเดียวกัน การวัดสัญญาณอะคุสติกจะเป็นไปอย่างรวดเร็วและแม่นยำกว่าการส่องกล้อง หรือช่วงละ 50 รูเจาะ ซึ่งถือได้ว่าตอกส่วนมีการสึกหรอด้วยกันมากพอสมควร และแต่ละช่วงนั้นจะนำสัญญาณมาพิจารณา 5 รูเจาะ เพื่อร่วบรวมลักษณะเชิงสถิติในการบีบตัวลักษณะของสัญญาณแต่ละช่วง เพราะในช่วงระยะสั้นๆ นี้ เมื่อเทียบกับช่วง 50 รูเจาะ แล้วจะถือว่า 5 รูเจาะที่ต่อเนื่องกันนี้เป็นช่วงเดียวกัน เช่น สัญญาณจากรูเจาะที่ 1 ถึง 5 ถือเป็นตัวแทนของตอกส่วนใหม่ สัญญาณจากรูเจาะที่ 51 ถึง 55 ถือเป็นตัวแทนของรูเจาะที่ 51 และสัญญาณจากรูเจาะที่ 101 ถึง 105 ถือเป็นตัวแทนของรูเจาะที่ 101

โดยจะทำการทดลองเปลี่ยนอัตราการป้อน 3 ระดับ คือ 0.2 0.12 และ 0.08 มิลลิเมตรต่อรอบและเปลี่ยนอัตราเร็วของ 3 ระดับ คือ 710 450 และ 280 รอบต่อนาที การกำหนดนี้ยืดตามข้อจำกัดของเครื่องเจาะและข้อมูลเงื่อนไขการใช้งานทั่วไปของตอกส่วนแบบบีด ทั้งนี้เพื่อศึกษาความแตกต่างกันของสัญญาณอะคุสติกขณะทำการเจาะที่อัตราเร็วของและอัตราการป้อนที่แตกต่างกัน โดยจะทำการทดลองด้วยตอกส่วน 3 ดอก ต่อ 1 เงื่อนไขการทดลอง แต่เงื่อนไขการทดลองที่อัตราเร็วของ 280 รอบต่อนาที อัตราการป้อน 0.2 มิลลิเมตรต่อรอบ ไม่สามารถทำการทดลองได้ เพราะอัตราเร็วของต่ำไม่สัมพันธ์กับอัตราการป้อนที่สูงเกินไปทำให้ตอกส่วนเสียหายขณะเจาะ

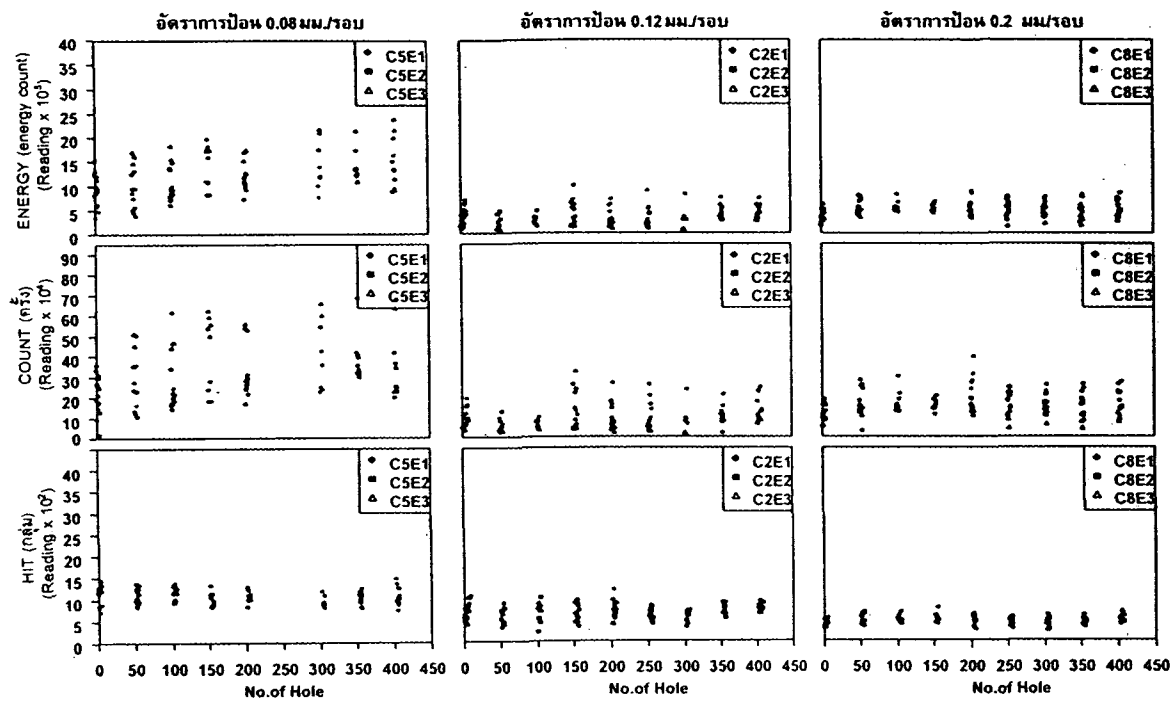
4 สรุปผลการทดลอง ปัญหาและข้อเสนอแนะ

4.1 สรุปผลการทดลอง

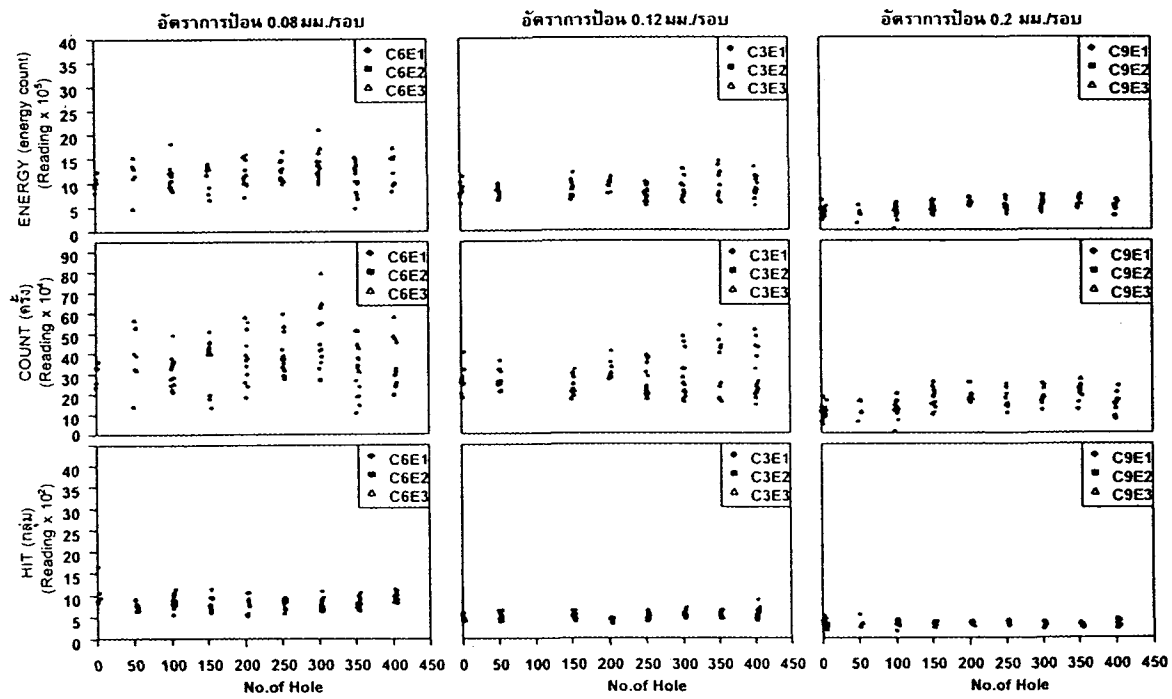
พบว่าลักษณะทั่วไปของสัญญาณคือ ENERGY COUNT และ HIT เมื่อพิจารณาที่อัตราเร็วของ 3 รอบต่อนาที ค่าจะสูงกว่าที่อัตราการป้อนสูงอย่างเห็นได้ชัด ดังแสดงในรูปที่ 3 และ 4 สัญญาณ ENERGY กับ COUNT เมื่อพิจารณาที่อัตราการป้อนคงที่ ค่าสัญญาณไม่แตกต่างกันแต่หันหน้าที่อัตราเร็วของต่างกัน ส่วน HIT ที่ความเร็วของต่อ 1 รอบต่อนาที เห็นได้ชัดเจนที่สูงกว่าความเร็วของต่อ 3 และ 4 รอบต่อนาที แต่เมื่อพิจารณาค่าของสัญญาณที่ยกหันหน้า ความเร็วของต่อ 5 และ 6 รอบต่อนาที ค่าของสัญญาณไม่แตกต่างกันมาก จึงรูปที่ 3 ถึง 6 พบว่าแนวโน้มยังไม่ชัดเจนเนื่องจากที่ 400 รูเจาะ ความสึกหรอมีน้อยทำให้สภาพการเจาะไม่แตกต่างจากตอกส่วนใหม่มากนักจึงทำให้สัญญาณไม่แตกต่างกันมาก เนื่องจาก 710 รอบต่อนาที อัตราการป้อน 0.12 มิลลิเมตรต่อรอบ และอัตราเร็วของ 280 รอบต่อนาที อัตราการป้อน 0.08 มิลลิเมตรต่อรอบ เนื่องใน 1 ตัวอย่างจะเพิ่มเป็น 1300 รูเจาะ ดังแสดงในรูปที่ 7 และ 8 พบว่าค่าของสัญญาณ ENERGY และ COUNT น่าจะเพิ่มขึ้นตามลำดับที่ของรูเจาะชัดเจนขึ้น

จากการทดลองข้างต้นของค่า ENERGY และ COUNT น่าจะเกิดจากที่อัตราการป้อนแตกต่างกันระหว่างทางในการกินเนื้อโลหะ ของตอกส่วนต่างกัน คือที่อัตราการป้อนต่ำรับประทานในการกินเนื้อโลหะมากกว่า จึงมีการจัดขาดของเนื้อโลหะเป็นรูประทานมากกว่าทำให้พลังงานที่ปลดปล่อยออกมากมีมากกว่าค่าคิดว่าลักษณะของการกินเนื้อโลหะเป็นแบบเดียวกัน แต่ที่อัตราการป้อนทำกันมีรูประทานการกินเนื้อเท่ากันทำให้สัญญาณ ENERGY และ COUNT ที่ได้ไม่แตกต่างกันมากนัก สำหรับเงื่อนไขอัตราเร็วของ 450 รอบต่อนาที อัตราการป้อน 0.2 มิลลิเมตรต่อรอบ และอัตราเร็วของ 710 รอบต่อนาที อัตราการป้อน 0.2 มิลลิเมตรต่อรอบ สัญญาณที่ได้มีค่าต่ำและสม่ำเสมอ ส่วนเงื่อนไขอัตราเร็วของ 280 รอบต่อนาที อัตราการป้อน 0.08 มิลลิเมตรต่อรอบ และอัตราเร็วของ 450 รอบต่อนาที อัตราการป้อน 0.08 มิลลิเมตรต่อรอบ สัญญาณที่ได้มีค่าสูงกว่ามาก ซึ่งส่วนหนึ่งน่าจะเป็นผลมาจากการลักษณะการกินเนื้อโลหะซึ่งสังเกตได้จากเศษโลหะ จากการทดลองพบว่าเงื่อนไขอัตราเร็วของ 450 รอบต่อนาที อัตราการป้อน 0.2 มิลลิเมตรต่อรอบ และอัตราเร็วของ 710 รอบต่อนาที อัตราการป้อน 0.2 มิลลิเมตรต่อรอบ การตัดเนื้อโลหะสม่ำเสมอได้เศษโลหะเป็นแบบต่อเนื่อง พลังงานที่ปลดปล่อยออกมากจึงมีเฉพาะส่วนที่ตอกส่วนตัดเนื้อโลหะ แต่เงื่อนไขอัตราเร็วของ 280 รอบต่อนาที อัตราการป้อน 0.08 มิลลิเมตรต่อรอบ และอัตราเร็วของ 450 รอบต่อนาที อัตราการป้อน 0.08 มิลลิเมตรต่อรอบ ลักษณะการกินเนื้อโลหะเป็นแบบไม่ต่อเนื่อง สัญญาณได้จากพลังงานที่ปลดปล่อยจากฟันที่ในการจัดขาดและแตกหักของเศษโลหะ ทำให้สัญญาณที่ได้มีค่าสูงกว่า

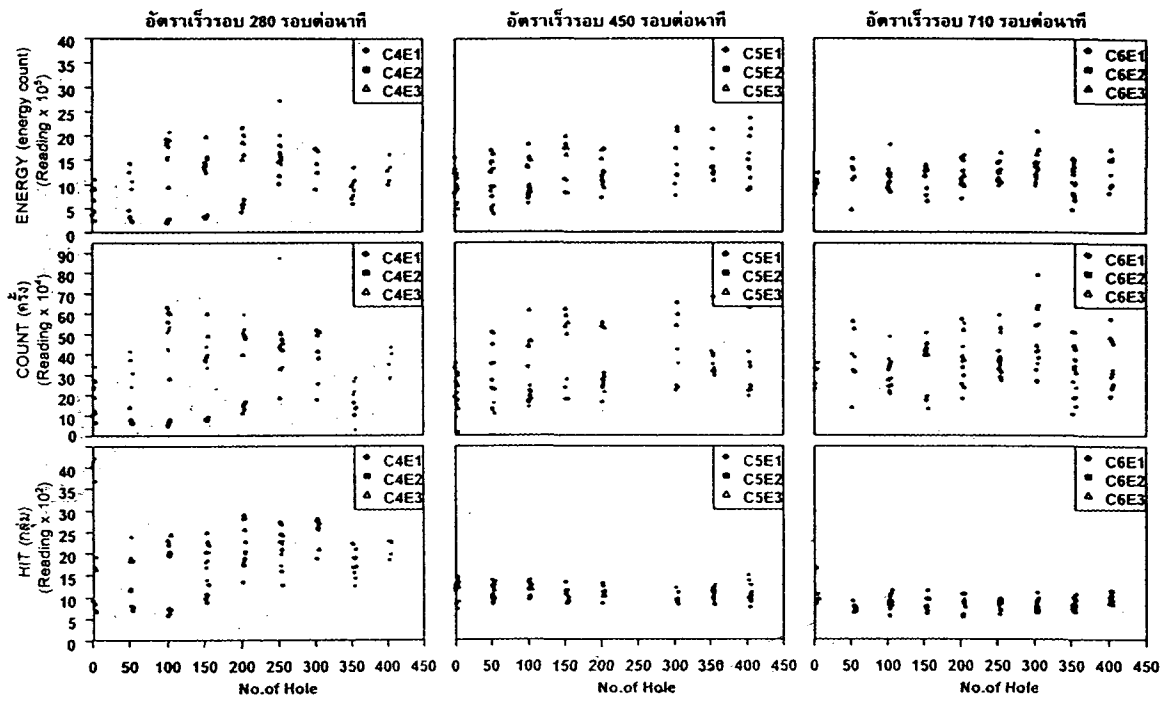
ผลการทดลองได้บ่งชี้ถึงความสัมพันธ์ของสัญญาณอะคุสติก กับลักษณะการกินเนื้อและการสึกหรอของตอกส่วน ซึ่งยังจำเป็นที่จะต้องสะสมผลการทดลองเพื่อให้มีข้อมูลจำนวนมากในการกำหนดครุภัณฑ์ความสัมพันธ์ของสัญญาณในชิ้นประภูมิที่แน่นอน



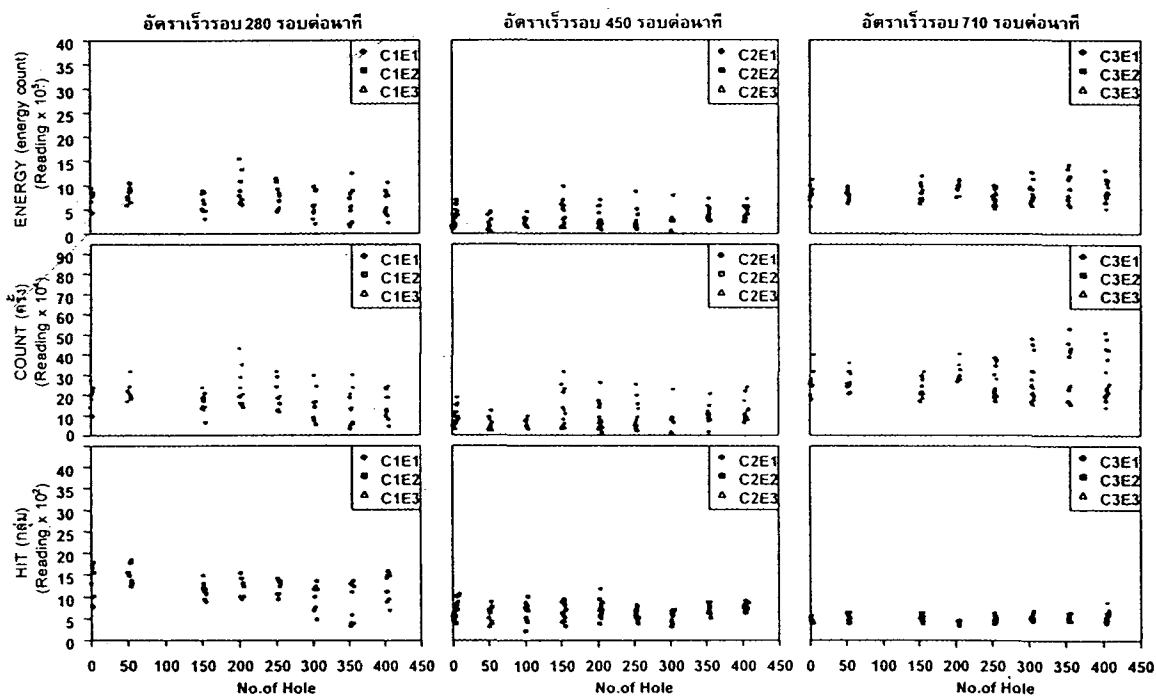
รูปที่ 3 ความสัมพันธ์ระหว่าง ENERGY COUNT และ HIT กับลำดับที่ของรูเจาะ ที่อัตราเร็วรอบ 450 รอบต่อนาที ช่วง 400 รูเจาะ



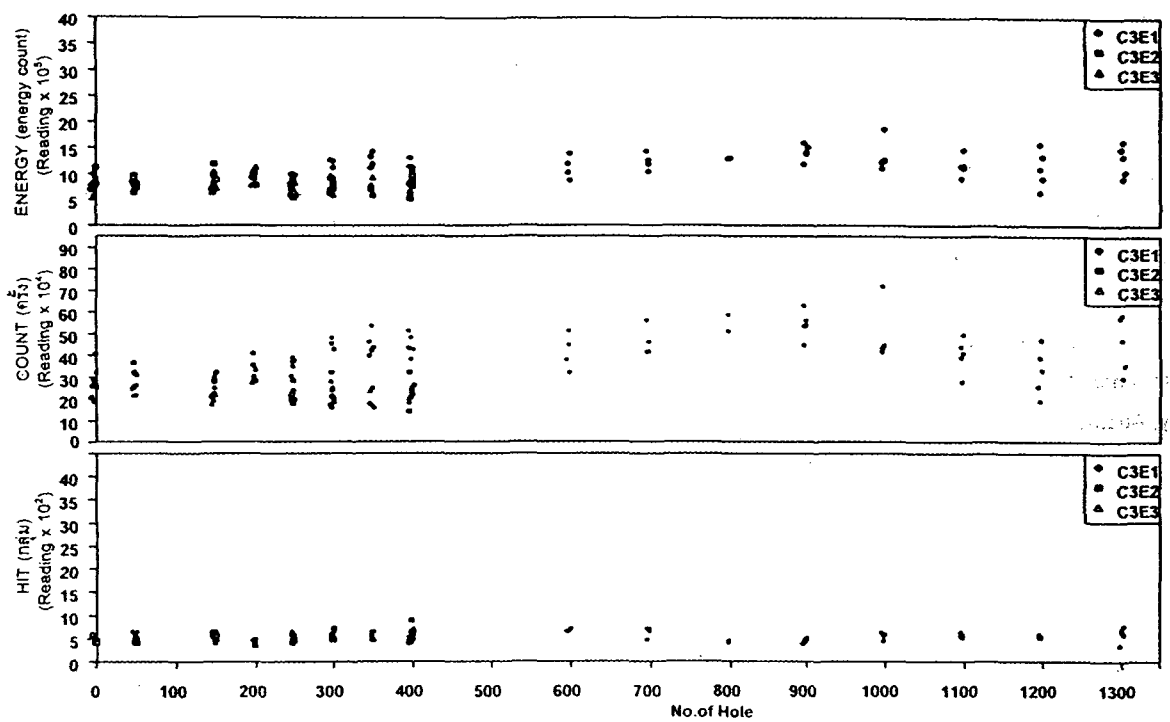
รูปที่ 4 ความสัมพันธ์ระหว่าง ENERGY COUNT และ HIT กับลำดับที่ของรูเจาะ ที่อัตราเร็วรอบ 710 รอบต่อนาที ช่วง 400 รูเจาะ



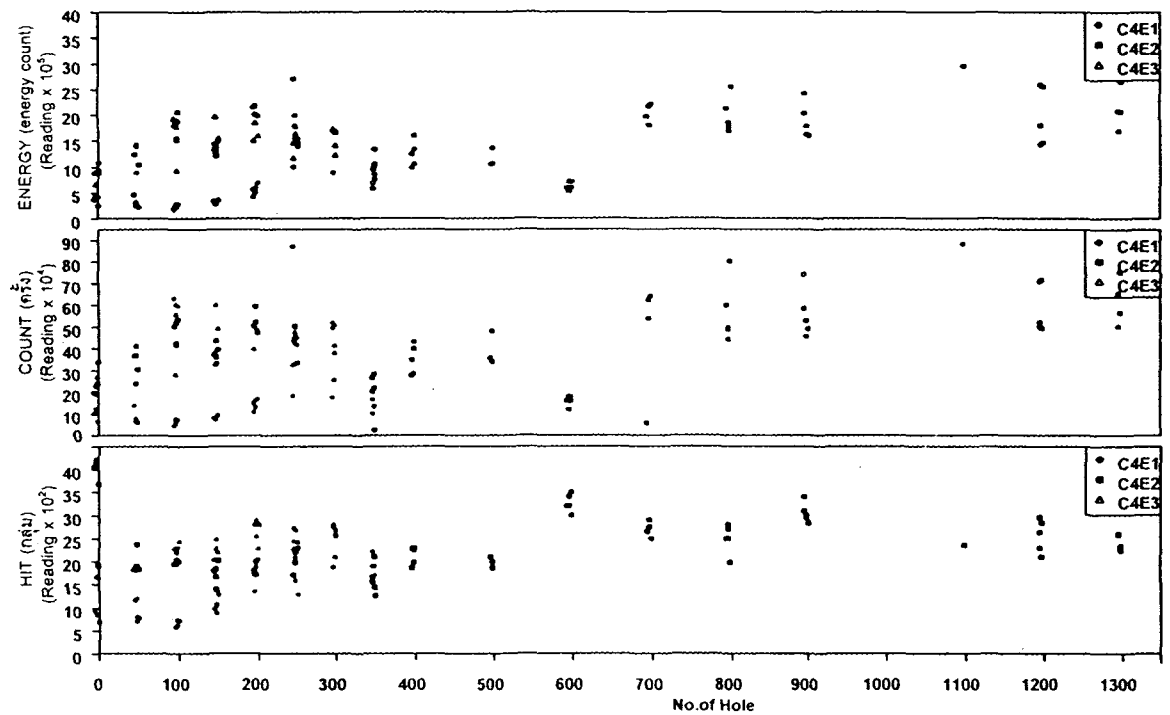
รูปที่ 5 ความสัมพันธ์ระหว่าง ENERGY COUNT และ HIT กับลำดับที่ของรูเจาะ ที่อัตราการป้อน 0.08 มิลลิเมตรต่อรอบ ช่วง 400 รูเจาะ



รูปที่ 6 ความสัมพันธ์ระหว่าง ENERGY COUNT และ HIT กับลำดับที่ของรูเจาะ ที่อัตราการป้อน 0.12 มิลลิเมตรต่อรอบ ช่วง 400 รูเจาะ



รูปที่ 7 ความสัมพันธ์ระหว่าง ENERGY COUNT และ HIT กับลำดับที่ของรูเจาะ สำหรับดอกสว่าน c3e1 ช่วง 1300 รูเจาะ



รูปที่ 8 ความสัมพันธ์ระหว่าง ENERGY COUNT และ HIT กับลำดับที่ของรูเจาะ สำหรับดอกสว่าน c4e2 ช่วง 1300 รูเจาะ

เอกสารอ้างอิง

- [1] LOCAN320 User's Manual. Physical acoustics corporation, November 1990
- [2] Jack C. Spanner, "Acoustic Emission Techniques and Applications", U.S.A.,1974.
- [3] Kenneth W. Yee.,Donald S. Blomquist "Checking Toolwear by Time Domain Analysis" Manufacturing Engineering, May 1982, pp.74-76.
- [4] E.N. Diei.; D.A. Dornfeld, "Acoustic Emission Sensing of Tool Wear in Face Milling", ASME Journal of Engineering for Industry, August 1987.